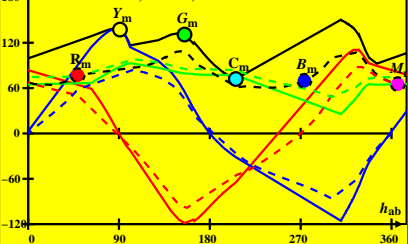


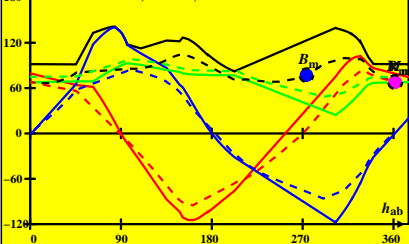
CIE-Daten für antichromatische Optimalfarben von maximalem Buntwert für D65, $Y_w=88,6$, $Y_m=520$, 770 , $B_m=380$, 520

↑ CIELAB-Helligkeit L^* und radiale Buntheit a^* , b^* , C^*_{ab} im Bereich $Y=0,0$ bis $88,6$



CIE-Daten für antichromatische Optimalfarben von maximalem Buntwert für D50. $Y_w=88,6$, $Y_m=520$, 770 , $B_m=380$, 520

↑ CIELAB-Helligkeit L^* und radiale Buntheit a^* , b^* , C^*_{ab} im Bereich $Y=0,0$ bis $88,6$

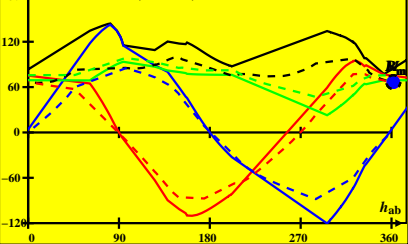


0-000030-L0

SG841-7A_1

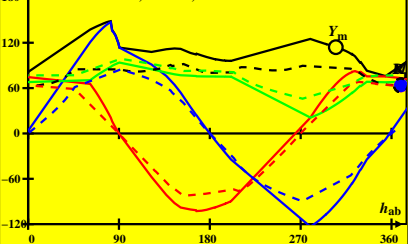
CIE-Daten für antichromatische Optimalfarben von maximalem Buntwert für P40, $Y_n=88,6$, $Y_m=520$ 770, $B_m=380$ 520

↑ CIELAB-Helligkeit L^* und radiale Buntheit a^* , b^* , C^*_{ab} im Bereich $Y=0,0$ bis $88,6$



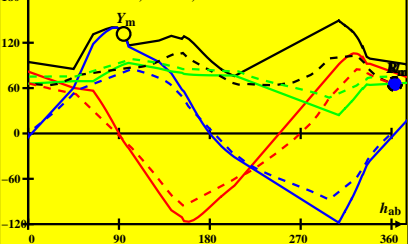
CIE-Daten für antichromatische Optimalfarben von maximalem Buntwert für A00. $Y_w=88,6$, $Y_m=520$, 770 , $B_m=380$, 520

↑ CIELAB-Helligkeit L^* und radiale Buntheit a^* , b^* , C^*_{ab} im Bereich $Y=0,0$ bis $88,6$



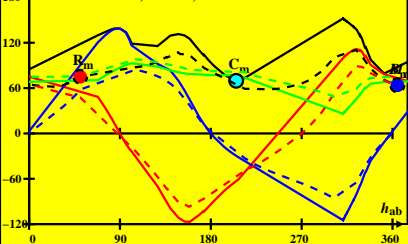
CIE-Daten für antichromatische Optimalfarben von maximalem Buntwert für E00, $Y_m=88,6$, $Y_m=520\ 770$, $B_m=380\ 520$

↑ CIELAB-Helligkeit L^* und radiale Buntheit a^* , b^* , C^*_{ab} im Bereich $Y=0,0$ bis $88,6$



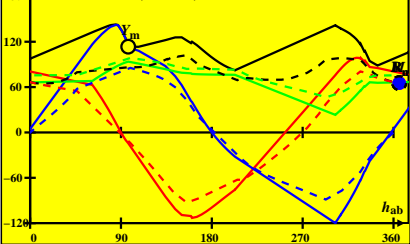
CIE-Daten für antichromatische Optimalfarben von maximalem Buntwert für C00. $Y_w=88,6$, $Y_m=520$, 770 , $B_m=380$, 520

↑ CIELAB-Helligkeit L^* und radiale Buntheit a^* , b^* , C^*_{ab} im Bereich $Y=0,0$ bis $88,6$



CIE-Daten für antichromatische Optimalfarben von maximalem Buntwert für P00, $Y_m=88,6$, $Y_m=520$ 770, $B_m=380$ 520

↑ CIELAB-Helligkeit L^* und radiale Buntheit a^* , b^* , C^*_{ab} im Bereich $Y=0,0$ bis $88,6$



CIE-Daten für antichromatische Optimalfarben von maximalem Buntwert für Q00, $Y_w=88,6$, $Y_m=520$, 770 , $B_m=380$, 520

↑ CIELAB-Helligkeit L^* und radiale Buntheit a^* , b^* , C^*_{ab} im Bereich $Y=0,0$ bis $88,6$

